

Starkniederschlagshöhen und -spenden gemäß KOSTRA-DWD-2010R

Auswertungszeitraum von 1951 - 2010, Januar - Dezember

Rasterfeld: 24041

Zeile: 24

Spalte: 41

Seite: 1/2

| Dauerstufe D | Wiederkehrzeit T | | | | | | | | | | | | | | | | | | | |
|--------------|------------------|------|------------|------|------------|------|------------|------|------------|------|------------|------|------------|------|------------|------|------------|-------|------------|--|
| | 1 a | | 2 a | | 3 a | | 5 a | | 10 a | | 20 a | | 30 a | | 50 a | | 100 a | | | |
| min | Std | mm | l / (s ha) | mm | l / (s ha) | mm | l / (s ha) | mm | l / (s ha) | mm | l / (s ha) | mm | l / (s ha) | mm | l / (s ha) | mm | l / (s ha) | mm | l / (s ha) | |
| 5 | | 4,9 | 163,3 | 6,6 | 220,0 | 7,5 | 250,0 | 8,7 | 290,0 | 10,4 | 346,7 | 12,0 | 400,0 | 13,0 | 433,3 | 14,2 | 473,3 | 15,9 | 530,0 | |
| 10 | | 7,7 | 128,3 | 9,9 | 165,0 | 11,3 | 188,3 | 12,9 | 215,0 | 15,1 | 251,7 | 17,4 | 290,0 | 18,7 | 311,7 | 20,3 | 338,3 | 22,6 | 376,7 | |
| 15 | | 9,5 | 105,6 | 12,2 | 135,6 | 13,7 | 152,2 | 15,7 | 174,4 | 18,4 | 204,4 | 21,1 | 234,4 | 22,6 | 251,1 | 24,6 | 273,3 | 27,3 | 303,3 | |
| 20 | | 10,8 | 90,0 | 13,8 | 115,0 | 15,6 | 130,0 | 17,8 | 148,3 | 20,9 | 174,2 | 23,9 | 199,2 | 25,7 | 214,2 | 27,9 | 232,5 | 31,0 | 258,3 | |
| 30 | | 12,4 | 68,9 | 16,0 | 88,9 | 18,2 | 101,1 | 20,8 | 115,6 | 24,5 | 136,1 | 28,1 | 156,1 | 30,3 | 168,3 | 32,9 | 182,8 | 36,6 | 203,3 | |
| 45 | | 13,8 | 51,1 | 18,1 | 67,0 | 20,7 | 76,7 | 23,9 | 88,5 | 28,3 | 104,8 | 32,6 | 120,7 | 35,2 | 130,4 | 38,4 | 142,2 | 42,7 | 158,1 | |
| 60 | | 14,6 | 40,6 | 19,6 | 54,4 | 22,4 | 62,2 | 26,1 | 72,5 | 31,0 | 86,1 | 36,0 | 100,0 | 38,9 | 108,1 | 42,5 | 118,1 | 47,5 | 131,9 | |
| 90 | | 15,9 | 29,4 | 21,1 | 39,1 | 24,2 | 44,8 | 28,0 | 51,9 | 33,3 | 61,7 | 38,5 | 71,3 | 41,6 | 77,0 | 45,4 | 84,1 | 50,7 | 93,9 | |
| 120 | 2 | 16,9 | 23,5 | 22,3 | 31,0 | 25,5 | 35,4 | 29,5 | 41,0 | 34,9 | 48,5 | 40,4 | 56,1 | 43,6 | 60,6 | 47,6 | 66,1 | 53,0 | 73,6 | |
| 180 | 3 | 18,4 | 17,0 | 24,1 | 22,3 | 27,5 | 25,5 | 31,7 | 29,4 | 37,5 | 34,7 | 43,2 | 40,0 | 46,6 | 43,1 | 50,8 | 47,0 | 56,6 | 52,4 | |
| 240 | 4 | 19,5 | 13,5 | 25,5 | 17,7 | 29,0 | 20,1 | 33,4 | 23,2 | 39,4 | 27,4 | 45,3 | 31,5 | 48,8 | 33,9 | 53,2 | 36,9 | 59,2 | 41,1 | |
| 360 | 6 | 21,2 | 9,8 | 27,6 | 12,8 | 31,3 | 14,5 | 35,9 | 16,6 | 42,2 | 19,5 | 48,5 | 22,5 | 52,2 | 24,2 | 56,9 | 26,3 | 63,2 | 29,3 | |
| 540 | 9 | 23,1 | 7,1 | 29,8 | 9,2 | 33,7 | 10,4 | 38,6 | 11,9 | 45,3 | 14,0 | 51,9 | 16,0 | 55,8 | 17,2 | 60,8 | 18,8 | 67,4 | 20,8 | |
| 720 | 12 | 24,6 | 5,7 | 31,5 | 7,3 | 35,6 | 8,2 | 40,7 | 9,4 | 47,6 | 11,0 | 54,5 | 12,6 | 58,6 | 13,6 | 63,7 | 14,7 | 70,6 | 16,3 | |
| 1080 | 18 | 26,7 | 4,1 | 34,1 | 5,3 | 38,3 | 5,9 | 43,7 | 6,7 | 51,1 | 7,9 | 58,4 | 9,0 | 62,7 | 9,7 | 68,1 | 10,5 | 75,4 | 11,6 | |
| 1440 | 24 | 28,4 | 3,3 | 36,0 | 4,2 | 40,5 | 4,7 | 46,1 | 5,3 | 53,7 | 6,2 | 61,3 | 7,1 | 65,8 | 7,6 | 71,4 | 8,3 | 79,0 | 9,1 | |
| 2880 | 48 | 35,6 | 2,1 | 44,1 | 2,6 | 49,0 | 2,8 | 55,3 | 3,2 | 63,7 | 3,7 | 72,2 | 4,2 | 77,2 | 4,5 | 83,4 | 4,8 | 91,9 | 5,3 | |
| 4320 | 72 | 40,7 | 1,6 | 49,7 | 1,9 | 54,9 | 2,1 | 61,5 | 2,4 | 70,5 | 2,7 | 79,4 | 3,1 | 84,6 | 3,3 | 91,2 | 3,5 | 100,2 | 3,9 | |

Angaben in mm: Bemessungsniederschlagswerte h(n)

Angaben in l / (s ha): Regenspende R(n) mit $R(n) = h(n) \times 1,666667 / D[\text{min}]$

Toleranzbereiche:

+/- 10 % für $1 a \leq T \leq 5 a$

+/- 15 % für $5 a < T \leq 50 a$

+/- 20 % für $50 a < T \leq 100 a$

Datenbasis: KOSTRA-DWD-2010R des Deutschen Wetterdienstes. Die Regenspende wurde auf Basis des Bemessungsniederschlags zur jeweiligen Andauer berechnet.

Für die Richtigkeit und Aktualität der Angaben wird keine Gewähr übernommen. Erstellt 07/2022.

Starkniederschlagshöhen und -spenden gemäß KOSTRA-DWD-2010R

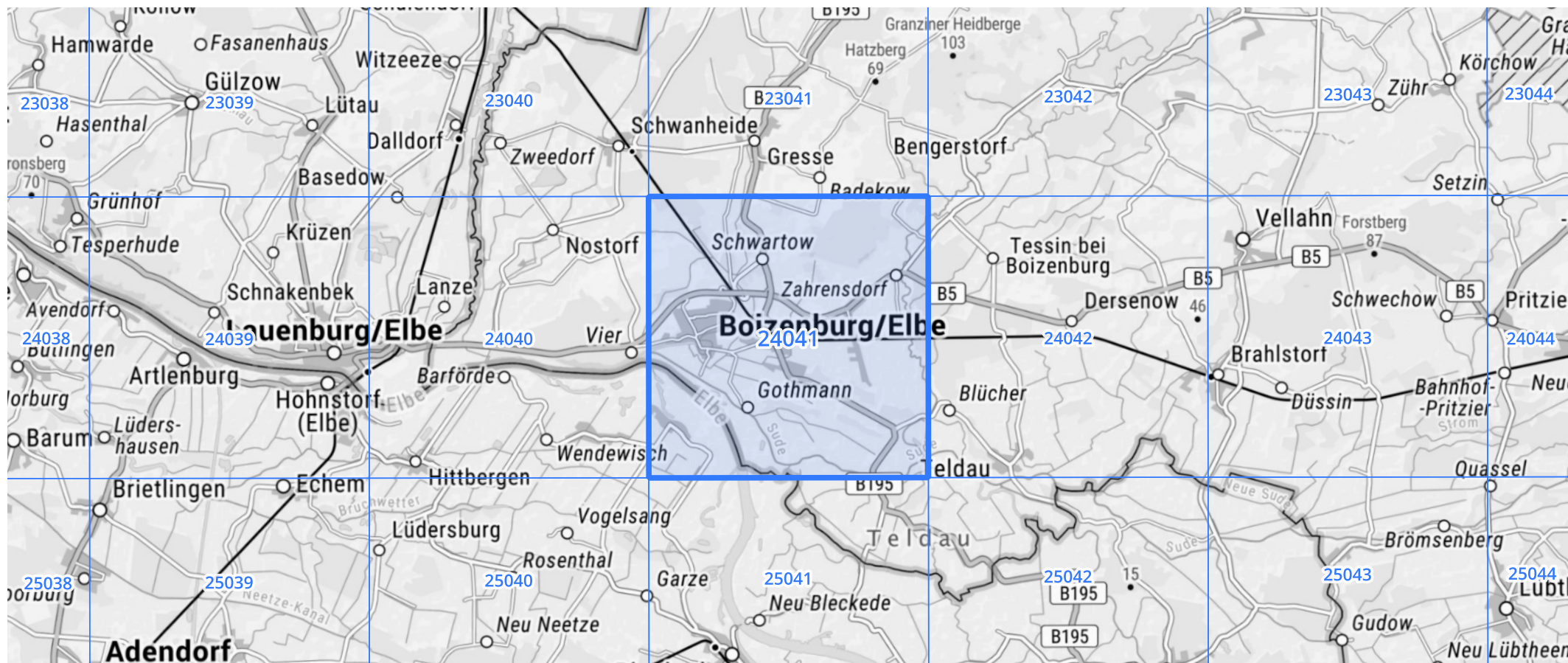
Auswertungszeitraum von 1951 - 2010, Januar - Dezember

Rasterfeld: 24041

Zeile: 24

Spalte: 41

Seite: 2/2



Quelle Rasterdaten: KOSTRA-DWD-2010R des Deutschen Wetterdienstes.

Kartendarstellung: © Bundesamt für Kartographie und Geodäsie (2022), Datenquellen: https://sgx.geodatenzentrum.de/web_public/gdz/datenquellen/Datenquellen_TopPlusOpen.html

Für die Richtigkeit und Aktualität der Angaben wird keine Gewähr übernommen. Erstellt 07/2022.